

(159) CaO-MgO-SiO<sub>2</sub> 系溶融スラグの水蒸気溶解度

UNIVERSITY OF TORONTO D.J.SOSINSKY

(現東京大学生研) 前田正史、A.MCLEAN

**1 結言** 最近の製鋼技術の進歩により、硫黄、燐などが数ppmまで除去されている。しかし、ガス成分である窒素あるいは水素などの除去には、いまだに問題のあるのが現状である。溶鋼中の水素は、特に制御の難しい元素の一つであり、製鋼原料の水分を制限するとともに、溶鋼脱ガス処理を行なうことで、仕様を満足している。本研究では、雰囲気からスラグへの水分の移行に着目し、その基礎的な知見を得るために、溶融スラグの水蒸気溶解度を熱天秤を用いて測定した。 $\text{CaO}-\text{MgO}-\text{SiO}_2$ 系スラグを対象とし、主に  $\text{CaO}$  と  $\text{MgO}$  の水蒸気溶解度に対する等価性について調査した。また水蒸気溶解度の温度依存性を、融点  $1350^\circ\text{C}$ 付近のスラグについて  $200^\circ\text{C}$  の範囲で測定した。実験に用いたスラグの組成を表に示した。

**2 実験** 前報(1)の装置に若干の改造を加え、天秤として CAHN-1000 を用いた。内径約 23mm、高さ約 30mm の白金るっぽ内で、超高純度試薬から調整したスラグを約 26g 予備溶解し、試料とした。Mo炉内で、Ar-H<sub>2</sub>O混合ガス（水蒸気分圧 0.04-0.10 atm）と接触反応させ、この間の重量変化を連続的に記録した。重量変化の無くなった時点をもって、平衡に至ったものとした。平衡に要した時間は 6-24 時間であった。得られた重量変化から水蒸気溶解度を算出した。

**3 結果と考察** 水蒸気溶解度は水蒸気分圧の平方根に比例した。また溶解度の温度による変化は本実験の温度範囲( $1375\text{-}1575^\circ\text{C}$ )では測定精度内で認められなかった ( $\pm 5\text{ppm}$ )。図 1 に、水蒸気分圧 1.0 atm に規格化した水蒸気溶解度(ppm)を、以下の理由により、 $\text{SiO}_2$ の活量の関数で示した。前報のように  $(\text{N}\text{CaO} + \text{N}\text{MgO}) / \text{NSiO}_2$ を横軸にプロットすると  $\text{MgO}-\text{SiO}_2$ 二元系スラグの溶解度が同一曲線上に無くこの指標は  $\text{MgO}-\text{SiO}_2$ を表現するのには適切ではない事を示唆した。 $\text{CaO}-\text{MgO}-\text{SiO}_2$ 系の  $\text{SiO}_2$ の活量線は、低  $\text{SiO}_2$ 域では  $\text{CaO}-\text{MgO}$  線と平行であり  $\text{CaO}$  を  $\text{MgO}$  に置換しても  $\text{SiO}_2$ の活量は変化しないが、 $\text{SiO}_2$ が 40%以上になると、置換した場合その活量は大きくなる。以上を考慮して  $\text{SiO}_2$ の活量の関数で表示した。前報の結果も併せて同図に示した。これまでの研究(1),(2)でも報告されているようにメタシリケート組成を臨界点として、酸性、塩基性どちらに動いても水蒸気溶解度が増加している。つまりスラグ中の水蒸気は、両性的な挙動をみせている。この溶解度曲線は  $\pm 5\text{ ppm}$  の精度で次の式で表わされた。

$$\text{H}_2\text{O}(\text{ppm}) = (1095 - 2180a + 3146a^2 - 1365a^3) P^{1/2} \text{H}_2\text{O}$$

ただし  $a$  は  $\text{SiO}_2$ の活量である。

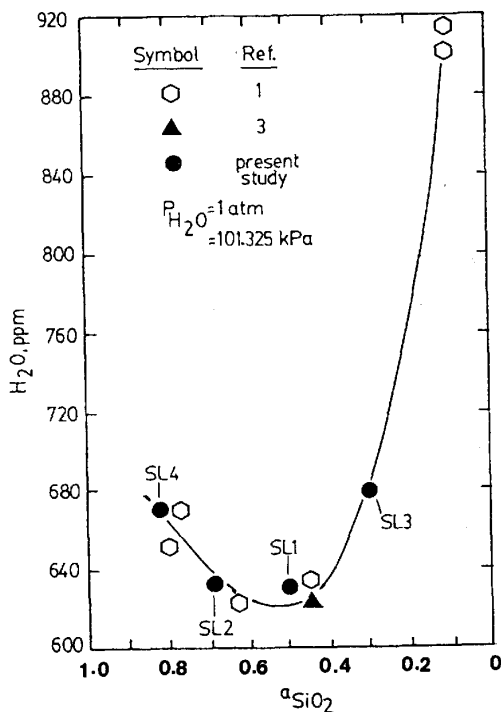
(1) D.J.ZULIANI et al : 鉄と鋼 vol.68(1982)

S942 (2) Y.IGUCHI et al : TRANS.ISIJ vol.10

(1970)pp29-35 (3) D.J.SOSINSKEY : UNIVERSITY OF TORONTO , BACHELOR THESIS(1982)

Table The compositions and basicities of the slags studied in the present work.

SLAGS	wt%CaO	wt%MgO	wt%SiO <sub>2</sub>
1	13.1	30.0	56.9
2	25.6	17.2	57.2
3	30.0	20.0	50.0
4	0.0	38.8	61.2

Figure The solubility of water vapour in  $\text{CaO}-\text{MgO}-\text{SiO}_2$  slags as a function of silica activity.